

АНАЛИЗ И МОДЕЛИРОВАНИЕ ДИНАМИКИ ПУЧКА ЗАРЯЖЕННЫХ ЧАСТИЦ В ЛОВУШКЕ ЧАРЛЬТОНА

А. Д. Овсянников^{a, 1}, И. Н. Мешков^б, Д. А. Овсянников^а, М. К. Есееев^{б, 2}

^a Санкт-Петербургский государственный университет, Санкт-Петербург, Россия

^б Объединенный институт ядерных исследований, Дубна

^а Федеральный исследовательский центр комплексного изучения Арктики им. академика Н. П. Лаверова РАН, Архангельск, Россия

² Северный (Арктический) федеральный университет им. М. В. Ломоносова, Архангельск, Россия

Исследуется динамика заряженных частиц в ловушке Пенninga–Малмберга–Сурко с вращающимся электрическим полем [1–3] (ловушка Чарльтона). Построены и реализованы два разных алгоритма определения характеристических показателей Ляпунова для решений нестационарной системы, описывающей динамику частиц в ловушке. Это позволяет строить приближенные аналитические решения. Проведена проверка асимптотической устойчивости движений заряженных частиц при выборе разных параметров системы и их соотношений.

The dynamics of charged particles in the Penning–Malmberg–Surko trap with a rotating electric field [1–3] (the Charlton trap) is investigated. Two different algorithms for determining Lyapunov characteristic exponents for solutions of a nonstationary system describing the dynamics of particles in a trap are constructed and realized. This allows us to construct approximate analytical solutions. The asymptotic stability of motions of charged particles is checked for a different choice of the system parameters and their relations.

PACS: 29.27.Bd; 02.30.Yy; 02.60.Cb

ВВЕДЕНИЕ

В работе рассматривается модификация ловушки Пеннигга — ловушка Пеннигга–Малмберга–Сурко с вращающимся электрическим полем вдоль всей ловушки. Необходимо определить характер движения отдельных частиц в электрическом (1) и магнитном (2) полях ловушки. Для этого используется подход, связанный с понятием асимптотической устойчивости по Ляпунову. В случае постоянной матрицы системы вопрос об асимптотической устойчивости системы сводится к проверке отрицательности вещественных частей всех собственных значений матрицы системы, которые могут быть вычислены непосредственно. Проверка асимптотической устойчивости системы (3)–(5) осложнена тем, что матрица системы непостоянная (зависит от времени). В нашем случае необходимо найти так называемые характеристические показатели Ляпунова для

¹E-mail: a.ovsyannikov@spbu.ru, ovs74@mail.ru

системы (3)–(5). Характеристический показатель Ляпунова $\chi[f]$ определяется степенью роста функции

$$\chi[f] = \lim_{t \rightarrow \infty} \frac{\ln |f(t)|}{t}.$$

Если $\chi[f] = \alpha \neq \pm\infty$, то для любого $\varepsilon > 0$ $\overline{\lim}_{t \rightarrow \infty} \frac{|f(t)|}{e^{(\alpha-\varepsilon)t}} = +\infty$ и $\underline{\lim}_{t \rightarrow \infty} \frac{|f(t)|}{e^{(\alpha+\varepsilon)t}} = 0$.

Динамика заряженных частиц рассматривается в электрическом поле

$$\Phi(z) = \frac{m \omega_z^2}{q} \left(z^2 - \frac{r^2}{2} \right) + \frac{m}{q} a z r \cos(\theta + \omega_r t) \quad (1)$$

и однородном продольном магнитном поле

$$\mathbf{B} = \mathbf{e}_z B, \quad (2)$$

где m и q — масса и заряд частицы; ω_z — частота продольных колебаний частицы в аксиально-симметричном электрическом поле электродов ловушки; a и ω_r — параметры, характеризующие амплитуду и частоту вращающегося электрического дипольного поля, асимметричного по z (Rotating Wall, RW); θ , z и r — угловая, осевая и радиальная координаты с осями, согласующимися с осями симметрии электродов ловушки. Движение заряженных частиц в этих полях описывается следующей системой уравнений:

$$\ddot{x} = 0,5\omega_z^2 x - az \cos(\omega_r t) + \Omega_c \dot{y} - k \dot{x}, \quad (3)$$

$$\ddot{y} = 0,5\omega_z^2 y + az \sin(\omega_r t) - \Omega_c \dot{x} - k \dot{y}, \quad (4)$$

$$\ddot{z} = -\omega_z^2 z - k \dot{z} - a(x \cos(\omega_r t) - y \sin(\omega_r t)). \quad (5)$$

Здесь $\Omega_c = qB/m$ есть циклотронная частота частицы, параметр k представляет силу сопротивления, связанную с рассеянием частиц молекулами буферного газа ловушки.

Система (3)–(5) сводится к системе обыкновенных дифференциальных уравнений первого порядка с помощью новых переменных $\mathbf{m} = (m_1, \dots, m_6)': m_1 = x, m_2 = y, m_3 = z, m_4 = \dot{x}, m_5 = \dot{y}, m_6 = \dot{z}$:

$$\frac{d\mathbf{m}}{dt} = \mathbf{A}(t) \mathbf{m}. \quad (6)$$

Здесь $\mathbf{A}(t) = \mathbf{D} + a\mathbf{G}(t)$, где \mathbf{D} — постоянная матрица, \mathbf{G} — периодическая матрица:

$$\mathbf{D} = \begin{pmatrix} 0 & 0 & 0 & 1 & 0 & 0 \\ 0 & 0 & 0 & 0 & 1 & 0 \\ 0 & 0 & 0 & 0 & 0 & 1 \\ \omega_z^2/2 & 0 & 0 & -k & \Omega_c & 0 \\ 0 & \omega_z^2/2 & 0 & -\Omega_c & -k & 0 \\ 0 & 0 & -\omega_z^2 & 0 & 0 & -k \end{pmatrix},$$

$$\mathbf{G} = \begin{pmatrix} 0 & 0 & 0 & 0 & 0 & 0 \\ 0 & 0 & 0 & 0 & 0 & 0 \\ 0 & 0 & 0 & 0 & 0 & 0 \\ 0 & 0 & -\cos(\omega_r t) & 0 & 0 & 0 \\ 0 & 0 & \sin(\omega_r t) & 0 & 0 & 0 \\ -\cos(\omega_r t) & \sin(\omega_r t) & 0 & 0 & 0 & 0 \end{pmatrix}.$$

В результате линейная дифференциальная система будет периодической с периодом $T = 2\pi/\omega_r$.

АЛГОРИТМ ПРИБЛИЖЕННОГО ВЫЧИСЛЕНИЯ МУЛЬТИПЛИКАТОРОВ

Как известно, периодическая линейная система приводится к системе с постоянной матрицей. Однако приведение такой системы непосредственно к системе с постоянной матрицей на практике затруднено тем, что для построения соответствующего преобразования Ляпунова в общем случае требуется знать фундаментальную матрицу периодической системы. Поэтому для анализа асимптотической устойчивости системы необходимо построить алгоритм приближенного вычисления характеристических показателей ее решений. Соответствующий алгоритм сводится к приближенному вычислению мультипликаторов системы (6).

Рассмотрим систему линейных дифференциальных уравнений (6) с непрерывной периодической матрицей системы: $\mathbf{A}(t+T) \equiv \mathbf{A}(t)$, $T > 0$. Пусть матрица $\mathbf{X}(t)$ есть фундаментальная матрица системы (6), такая что $\mathbf{X}(0) = \mathbf{E}$, где \mathbf{E} — единичная матрица. Матрица $\mathbf{X}(T)$ называется матрицей монодромии. Собственные значения ρ_j ($j = \overline{1, 6}$) матрицы монодромии $\mathbf{X}(T)$ называются мультипликаторами. И пусть матрица Λ определяется как $\Lambda = \ln \mathbf{X}(T)/T$. Тогда вещественные части собственных чисел матрицы Λ дают значения характеристических показателей Ляпунова системы (6):

$$\alpha_j = \operatorname{Re} \left(\frac{1}{T} \ln \rho_j \right) = \frac{1}{T} \ln |\rho_j|. \quad (7)$$

Разделим интервал $[0, T]$ на n равных частей: $0 = t_0 < t_1 < \dots < t_{n-1} < t_n = T$.

В системе (6) заменим непрерывную периодическую матрицу $\mathbf{A}(t)$ на кусочно-постоянную матрицу:

$$\mathbf{A}_h(t) = \mathbf{A}_l \equiv \mathbf{A}(t_l), \quad t_l \leq t < t_{l+1}, \quad h = \Delta t_l \equiv t_{l+1} - t_l = \frac{T}{n}, \quad l = 0, \dots, n-1.$$

Получаем формулу для приближенного вычисления матрицы монодромии:

$$\mathbf{X}(T) \approx e^{h\mathbf{A}_{n-1}} e^{h\mathbf{A}_{n-2}} \dots e^{h\mathbf{A}_0}. \quad (8)$$

Этот алгоритм был модифицирован с учетом структуры матрицы системы. Легко заметить, что $\mathbf{G}(t) \mathbf{G}(\tau) = \mathbf{0}$ для любых t и τ (при этом матрица $\mathbf{G}(t)$ тоже перестановочна

со своим интегралом), а также $\left(\int_{t_0}^t \mathbf{G}(\tau) d\tau \right)^j = \mathbf{0}$, $j > 1$. Тогда

$$\exp \left(a \int_{t_0}^t \mathbf{G}(\tau) d\tau \right) = \mathbf{E} + a \int_{t_0}^t \mathbf{G}(\tau) d\tau. \quad (9)$$

С использованием (9) получаем следующую формулу для приближенного расчета матрицы монодромии системы (6):

$$\begin{aligned} \mathbf{X}(T) \approx & \exp \left(a \int_{t_{n-1}}^{t_n} \mathbf{G}(\tau) d\tau \right) e^{h\mathbf{D}} \times \\ & \times \exp \left(a \int_{t_{n-2}}^{t_{n-1}} \mathbf{G}(\tau) d\tau \right) e^{h\mathbf{D}} \dots \exp \left(a \int_{t_0}^{t_1} \mathbf{G}(\tau) d\tau \right) e^{h\mathbf{D}}. \end{aligned} \quad (10)$$

Уточненный алгоритм приближенного расчета мультиликаторов значительно упрощает расчеты по сравнению с общим случаем.

СВЕДЕНИЕ УРАВНЕНИЙ ДВИЖЕНИЯ К УРАВНЕНИЯМ С ПОСТОЯННЫМИ КОЭФФИЦИЕНТАМИ

Далее при анализе решений ограничимся случаем соотношений параметров с соответствующими типичными экспериментальными значениями (предложенный метод применим при любых заданных значениях параметров системы):

$$\Omega_c \gg \omega_z \gg \omega_m \approx \frac{\omega_z^2}{2\Omega_c} \gg k > 0. \quad (11)$$

Здесь ω_m — магнетронная частота, описывающая колебания частиц в скрещенных магнитном и радиальном электрическом полях.

Для исследования устойчивости движения частиц при произвольных значениях параметра a введем новые переменные [3]:

$$u = x \cos(\omega_r t) - y \sin(\omega_r t), \quad (12)$$

$$v = x \sin(\omega_r t) + y \cos(\omega_r t). \quad (13)$$

Эта замена означает переход к равномерно вращающейся в поперечной плоскости (с частотой ω_r вокруг оси z) системе координат. Таким образом, $x^2 + y^2 = u^2 + v^2$.

В результате с помощью новых переменных (12), (13) получаем стационарную (с постоянными коэффициентами) систему [3] вместо (3)–(5):

$$\ddot{u} + k\dot{u} - (\Omega_c - 2\omega_r)\dot{v} + \left(\omega_r\Omega_c - \omega_r^2 - \frac{\omega_z^2}{2}\right)u + k\omega_r v + az = 0, \quad (14)$$

$$\ddot{v} + k\dot{v} + (\Omega_c - 2\omega_r)\dot{u} + \left(\omega_r\Omega_c - \omega_r^2 - \frac{\omega_z^2}{2}\right)v - k\omega_r u = 0, \quad (15)$$

$$\ddot{z} + k\dot{z} + \omega_z^2 z + au = 0. \quad (16)$$

Характеристические числа системы (14)–(16) могут быть вычислены как корни ее характеристического полинома $\chi = \chi(\lambda, \omega_r, a^2)$ [3], а их вещественные части и есть характеристические показатели Ляпунова для системы (3)–(5).

Введем определение степени устойчивости g_χ полинома $\chi(\lambda)$:

$$g_\chi = -\gamma_\chi; \quad \gamma_\chi = \max_{1 \leq i \leq 6} \operatorname{Re} \lambda_i,$$

где λ_i — корни полинома $\chi(\lambda)$, γ_χ — их максимальная вещественная часть.

Отметим, что объем, занимаемый траекториями системы (3)–(5) в шестимерном фазовом пространстве, всегда будет сжиматься, однако это не гарантирует стремления к нулю всех компонент решений системы и их асимптотическую устойчивость.

РЕЗУЛЬТАТЫ РАСЧЕТОВ

Основные параметры системы, использованные при расчетах:

- 1) $k = 1400 \text{ с}^{-1}$;
- 2) $a \leq 5 \cdot 10^{14} \text{ с}^{-2}$;
- 3) $\Omega_c = 4,4 \text{ Град/с}$;
- 4) $\omega_z = 59,6 \text{ Мрад/с}$;
- 5) $\omega_r^- = 60 \text{ Мрад/с}$ — «эффективная для сжатия частота RW поля» (диапазон А: $60 \text{ МГц} \pm 1\%$ с шагом $0,05\%$; диапазон В: $60 \text{ МГц} \pm 10\%$ с шагом 1%);
- 6) $\omega_r^+ = -59,1963 \text{ Мрад/с}$ — «эффективная для расширения частота RW поля» (диапазон С: $-59,1963 \text{ МГц} \pm 1\%$ с шагом $0,05\%$).

На рис. 1 и 2 представлены графики зависимости максимума вещественной части характеристических чисел системы (14)–(16) от параметра a при различных фиксированных значениях ω_r . Для различных значений параметров a и ω_r получены как асимптотически устойчивые, так и неустойчивые варианты реализации системы.

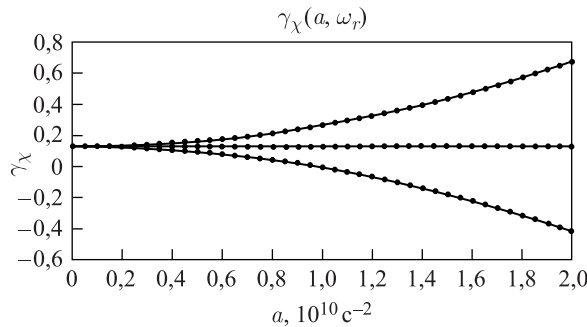


Рис. 1. Графики $\gamma_\chi(a)$ для ω_r из диапазонов А и С. Средний график соответствует всем графикам с частотами $\omega_r \neq \omega_r^\pm$, так как они перекрывают друг друга, $0 \leq a \leq 2 \cdot 10^{10} \text{ с}^{-2}$

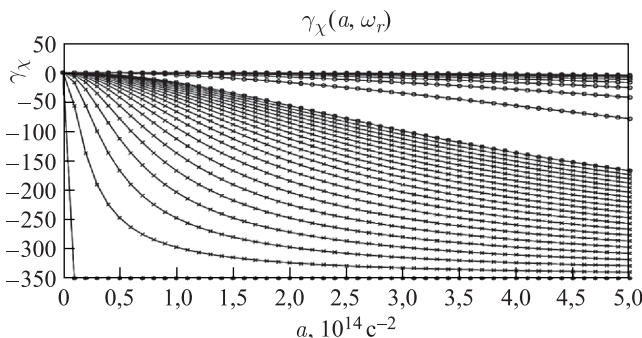


Рис. 2. Графики $\gamma_\chi(a)$ для ω_r из диапазонов А и В (крестики и кружки соответственно; звездочки соответствуют $\omega_r^- = 60 \text{ Мрад/с}$, $0 \leq a \leq 5 \cdot 10^{14} \text{ с}^{-2}$)

Нижние графики на рис. 1 и 2 соответствуют частоте ω_r^- , а верхний график на рис. 1 соответствует ω_r^+ . Будем называть эти частоты «эффективными для сжатия и

расширения» соответственно, поскольку они обеспечивают системе максимальную или минимальную (тоже соответственно) степень устойчивости по сравнению с другими значениями ω_r при фиксированном a . Можно получить их значения из анализа чувствительности характеристических чисел по отношению к ω_r с использованием выражения $\frac{\partial \lambda}{\partial (a^2)} = -\frac{\partial \chi/\partial (a^2)}{\partial \chi/\partial \lambda}$, где $\lambda = \lambda(\omega_r, a^2)$ — характеристические числа системы (14)–(16): $\omega_r^\pm = \mp\sqrt{\omega_z^2 - k^2/4} + \omega_m$. Найденная формула близка к формуле в работе [1]. На рис. 1 и 2 также показано, что степень устойчивости системы (14)–(16) очень чувствительна к выбору частоты ω_r вблизи ее «эффективных» значений. В случае даже малых отклонений от них частоты вращающегося поля требуется существенное увеличение амплитуды a вращающегося поля для обеспечения сравнимого уровня степени устойчивости. Однако при превышении некоторой амплитуды a система всегда становится неустойчивой. Расчеты показывают, что при значительных отклонениях частоты вращающегося поля от «эффективных» значений степень устойчивости системы почти не меняется (остается близкой к нулю) для широкого диапазона амплитуд вращающегося поля.

ЗАКЛЮЧЕНИЕ

В работе исследовалась динамика заряженных частиц в ловушке Пенninga–Малмберга–Сурко с вращающимся электрическим полем. Построены и реализованы два различных алгоритма для нахождения характеристических показателей Ляпунова для решений нестационарной системы, описывающей динамику частиц в ловушке. Проведены предварительные расчеты для различных наборов значений параметров системы. Сделаны предварительные оценки диапазона параметров, обеспечивающих асимптотическую устойчивость. Для выбора наиболее эффективных сочетаний параметров требуются дальнейшие вычисления.

СПИСОК ЛИТЕРАТУРЫ

1. Isaac C. A. Motional Sideband Excitation Using Rotating Electric Fields // Phys. Rev. A. 2013. V. 87. P. 043415-1–043415-7.
2. Eseev M. K., Meshkov I. N. Traps for Storing Charged Particles and Antiparticles in High Precision Experiments // Phys. Usp. 2016. V. 59. P. 304–317.
3. Meshkov I. N., Ovsyannikov A. D., Ovsyannikov D. A., Eseev M. K. Study of the Stability of Charged Particle Dynamics in a Penning–Malmberg–Surko Trap with a Rotating Field // Dokl. Physics. 2017. V. 62, No. 10. P. 457–460; doi: 10.1134/S1028335817100093 (Dokl. Akad. Nauk. 2017. V. 476, No. 6. P. 630–634).